

تقييم فعالية تطبيق غشاء التفلون عالي الكثافة d-PTFE غير الممتص فوق السنخ بعد القلع في المحافظة على ارتفاع الحافة السنخية باستخدام تقنية التصوير المقطعي CBCT المحسوب مخروطي الحزمة

* د. يمان شومل * أ.م.د محمد سبع العرب * أ.د. إلياس بطرس

(الإيداع: 8 نيسان 2019 ، القبول: 30 آيلول 2019)

الملخص:

تهدف هذه الدراسة السريرية التعلمية لدراسة تأثير تطبيق غشاء التفلون عالي الكثافة d-PTFE غير الممتص فوق السنخ على امتصاص العظم السنخي بعد القلع . أجري في هذه الدراسة قلع 40 سنًا وحيدة الجذر لدى 35 مريضاً (24 إناث ، 11 ذكور) ، من الفك السفلي. طبق غشاء التفلون عالي الكثافة d-PTFE غير الممتص فوق أسنان (20) سنًا (مجموعة d-PTFE) وترك أسنان العشرين الباقية (المجموعة الشاهدة) لتشفي بدون تدخل وبشكل عفوي. أجريت القياسات بالملم في ثلاثة فترات زمنية (بعد القلع مباشرة ، وبعد ثلاثة أشهر ، وبعد ستة أشهر) باستخدام برنامج Ez-3D Plus على مقاطع Cross-Sectional للحافة السنخية المأخوذة بتقنية التصوير المقطعي مخروطي الحزمة CBCT أجريت القياسات في مركز أسنان المقلوبة. أخذ القياس من قمة الارتفاع السنخي حتى الحافة السفلية لعظم الفك السفلي .

أظهرت نتائج هذه الدراسة وجود فروق ذات دلالة إحصائية بين متوسطات نسبة تغير ارتفاع السنخ (بالملم) $P < 0.05$ بالنسبة لجميع المقارنات بعد ثلاثة أشهر وبعد ستة أشهر بين المجموعتين المدروستين. حيث كان متوسط الامتصاص العمودي 0.23 ± 1.31 ملم بعد ثلاثة أشهر في مجموعة d-PTFE وفي المجموعة الشاهدة 0.49 ± 2.89 ملم ، وكان متوسط الامتصاص العمودي 0.35 ± 1.98 ملم بعد ستة أشهر في مجموعة d-PTFE وفي المجموعة الشاهدة 0.51 ± 3.93 ملم.

الخلاصة : تقل تغطية السنخ بغشاء التفلون عالي الكثافة d-PTFE غير الممتص يقلل من الامتصاص العمودي للحافة السنخية بعد القلع، لذلك يوصى بتطبيق هذا الغشاء فوق السنخ في سياق المحافظة على ارتفاع الحافة السنخية بعد القلع.

الكلمات المفتاحية: غشاء التفلون عالي الكثافة d-PTFE، قلع الأسنان، الشفاء العظمي، التصوير المقطعي المحسوب مخروطي الحزمة، مقاطع Cross-Sectional، الحافة السنخية، الامتصاص العظمي.

* طالب دكتوراه في قسم جراحة الفم والفكين بكلية طب الأسنان جامعة حماه

* أستاذ مساعد في جراحة الفم والفكين بكلية طب الأسنان جامعة حماه

*** * أستاذ في قسم جراحة الفم والفكين بكلية طب الأسنان جامعة البعث

Evaluating The Efficiency Of Applying high-density polytetrafluoroethylene (d-PTFE) membrane over fresh alveolar socket – Post Extraction For Preserving The Alveolar Ridge by means of CBCT technique

Yaman Shomal

MohammadSabe Alarab

Elias Botros

(Received: 9 April 2019, Accepted: 30 September 2019)

Abstract:

The aim of this prospective clinical study is to evaluate the efficacy of application d-PTFE in fresh alveolar socket – Post Extraction on the absorption of the alveolar bone after extraction. In this study, 40 single root teeth were extracted in 35 patients (24 females and 11 males) from the mandible. d-PTFE applied over the fresh alveolar sockets of (20) teeth (group I) The remaining 20 teeth (group II) were left to heal spontaneously. Measurements were performed at three periods (immediately after extraction, after three months, and after six months of extraction) using the Ez-3D Plus program on the Cross-Section of the alveolar ridge of the CTBT. The measurements were performed in the center of alveolus of the extracted teeth with the aim of studying the changes in height of the alveolar margin: the measurements were taken from the top of the alveolar ridge to the lower edge of the mandible. The results of this study showed statistically significant differences between the averages of the height changes of the alveolar ($P >0.05$) for all comparisons after (three and six months), the average of height reduction in d-PTFE group was 1.31 ± 0.23 mm and 2.89 ± 0.49 mm in control group while the average of height reduction in d-PTFE group after six months was 1.98 ± 0.35 and 3.93 ± 0.51 in control group.

Conclusion : applying d-PTFE over fresh alveolar socket – Post Extraction reduces the absorption of alveolar ridge height. It's recommended to apply d-PTFE over the alveolar socket post extraction in the context of alveolar ridge preservation .

Key Words: high-density polytetrafluoroethylene (d-PTFE), Extraction, CBCT: cone beam computed tomogram , Cross-Sectional, alveolar ridge, bone absorption .

1- مقدمة:Introduction

يحدث امتصاص الحافة السنخية نتيجة إعادة قولبة العظم بعد قلع الأسنان بشكل فيزيولوجي. حيث وجد Araujo et al وزملاؤه. (1) أن الجزء التاجي من العظم الدهليزي غالباً ما يتكون فقط من العظم الحزمي Bundle Bone وهذا هو ما يؤهله للامتصاص بعد عملية القلع. واقترح مؤلفون آخرون أن الامتصاص يحدث بسبب الصدمة الجراحية أثناء قلع الأسنان الذي التي تؤدي إلى انفصال السمحاق عن العظم مما يسبب تلفاً في الأوعية الدموية وحدوث استجابة التهابية تؤدي إلى حدوث الامتصاص العظمي (2,3).

يؤدي الامتصاص العظمي بعد القلع إلى عواقب قد تؤثر على الناحية التجميلية ويمكن أن تكون هذه العواقب شديدة لدرجة أن وضع الغرسة يمكن أن يكون صعباً أو مستحيلاً بدون استخدام إجراءات إضافية (4,5). كما يمكن أن تتدخل هذه العواقب مع استخدام الأجهزة المتحركة.

كذلك وجد Leblebiciooglu وزملاؤه. (6) أن الخسارة في ارتفاع الحافة السنخية أكبر في الفك السفلي مما هو عليه في الفك العلوي، والخسارة في العرض من الناحية الدهليزية أكبر لكلا الفكين بسبب رقة الصفيحة الدهليزية السنخية (6). وأظهرت دراسات أخرى أن رفع شريحة سمحاقية مخاطية كاملة الثخانة قد يزيد من حدوث الامتصاص بعد القلع (7)، مما يؤدي إلى فقدان 0.6 ملم تقريباً من العظم القمي (8).

يحدث امتصاص العظم السنخي بعد قلع الاسنان على مرحلتين. في المرحلة الأولى، يمتص العظم الحزمي bundle bone الذي يثبت السن داخل الارتفاع السنخي من خلال ألياف Sharpey سريعاً ويُستبدل بواسطة عظم منسوج woven bone حيث غير ناضج (9-10). ثم يستبدل العظم المنسوج كلياً خلال 180 يوماً تقريباً بواسطة عظم صفائحي lamellar bone ناضج. في المرحلة الثانية، يعاد تشكيل السطح السمحاقى للعظم السنخي من خلال التباغم بين الامتصاص والبناء العظمي الذي تقوم به الخلايا الهادمة للعظم osteoclast والبنائية للعظم osteoblast على الترتيب، ويؤدي هذا بدوره إلى حدوث تقلصٍ كلي للنسج عمودياً وأفقياً (10).

وبشكل عام يجب أن تكون الطريقة المثلثى لتقليل امتصاص الحافة السنخية غير مكلفة وغير راسية وتحتاج إلى تدخل الأدوات والمواد حتى الآن لا توجد أي طريقة تتطبق عليها كافة هذه المعايير. بالإضافة إلى أن معظم التقنيات المقدمة لحفظ على الحافة السنخية لم تصل في نتائجها إلى هدفها الكامل وهو المحافظة على الارتفاع الأصلي للحافة السنخية قبل القلع (11). وبذلك فإن تطوير تقنية بسيطة ذات نتائج واحدة لا يزال حتى يومنا هذا موضوعاً على طاولة البحث العلمي (12).

يحدث التشكيل العظمي في السنخ بعد القلع بصورة طبيعية طالما أن الجدران العظمية للسنخ لا تزال سليمة (13). وقد اقترح من قبل العديد من الباحثين أن تقليل الرض الحراحي والحد من رفع الشريحة عند القلع يقلل من الامتصاص التالي للحافة السنخية (14).

حيث افترض بأن رفع الشريحة يؤدي إلى تعطيل قدرة طبقة الخلايا السمحاقية المسئولة عن تشكيل العظم ، في حين أن عدم رفع الشريحة يحافظ على هذه الطبقة من الخلايا سليمة اون الخلل بوظيفتها (15).

بالمقابل فقد ذكر Tan WL وزملاؤه أن رفع الشريحة يؤثر على امتصاص الحافة السنخية على المدى القصير في حين أنه لم توجد اختلافات جوهيرية عند دراسة تأثير رفع الشريحة في امتصاص الحافة السنخية على المدى الطويل (16). وبشكل عام توجد أربعة طرق يمكن إتباعها في إعادة توجيه التوليد العظمي GBR لزيادة معدل التشكيل العظمي ولزيادة حجم العظم (17).

أولاً : توليد عظمي ذاتي مثالي يحقق توليد ، الحث ، والتوصيل
 ثانياً : Osteoinduction الحث على تولد العظام (التحريض على توليد العظم)
 ثالثاً : Osteoconductive التوصيل العظمي من خلال الأرضية أو السقالة للتوليد العظمي.
 رابعاً : توجيه التجدد النسجوي GTR من خلال استخدام أغشية حاجزية سواء كانت ممتصصة أو غير ممتصصة تسمح بالحفظ على المسافة ليتم ملؤها لاحقاً بواسطة عظم جديد.

وبناء على هذه المفاهيم فقد تم تطوير العديد من التقنيات التي تقوم على مبدأ التجدد العظمي الموجه GBR باستخدام أنماط مختلفة من الطعوم والأغشية منفردةً أو بالمشاركة مع بعضها، أو من خلال استخدام الطعوم اللثوية الحرقة في تغطية أسنان المقلوبة، أو استخدام عوامل النمو في تسريع التجدد العظمي ضمن السنخ (13).

تهدف هذه التقنيات جميعها في النهاية إلى تقديم خدمة للمريض تشمل:

- تقليل امتصاص العظم السنخي
- تقليل الحاجة إلى إجراءات تعليم إضافية في المستقبل.
- الحصول على نسيج عظمي كافي يؤمن الاندماج العظمي الحقيقي مع الغرسات
- تحسين النتائج التجميلية للتعويضات الصناعية لاحقاً بعد التحميل في حال غرس الأسنان أو بدونها.
- الحصول على امتلاء عظمي ضمن السنخ على نحو أسرع مما يسمح بالغرس والتعويض بشكل مبكر (13).

المحافظة على الحافة السنخية باستخدام الأغشية الحاجزية Barrier membranes

يقوم مبدئها على استخدام الأغشية الحاجزية التي تمنع الخلايا اللثوية (الطبقة البشرية) من اختراق منطقة العيب العظمي ليتم التجدد العظمي بداخله بمعزل عن المكونات النسيجية الأخرى أو ما يعرف بمبدأ Melcher للفصل بين المكونات النسيجية بسبب التقاويم في سرعة تجدد النسج بعد القلع وفقاً لاختلاف النسيج (18).

لكن لا ينطبق هذا الأمر على شفاء أسنان المقلوبة التي تمتلئ بعد القلع بعلقة دموية تحول فيما بعد إلى نسيج حبيبي يمنع امتلاء السنخ بالخلايا البشرية التي تقوم بذلك بالزحف Migration فوق قمة السنخ لتؤمن تغطية وإغلاق السنخ الآخذ بالشفاء (19).

طبق Lerovic وزملاؤه 1997 أغشية (e-PTFE) غير الممتصة فوق أسنان مقلوبة حديثاً، وجدوا أن مواقع مجموعة التجربة التي بقي فيها الغشاء مغطى بشكل كامل خلال فترة الشفاء الأولية لم يحدث فيها تبدلات كبيرة في أبعاد الحافة السنخية. في حين وجدوا حدوث تبدلات كبيرة في أبعاد الحافة السنخية عند أفراد العينة الشاهدة وموقع التجربة التي تعرض فيها الغشاء للانكشاف المبكر (20).

قاموا Pinho et al 2006 باستخدام أغشية التيتانيوم مع أو بدون استخدام الطعوم الذاتية، لم يجدوا فروقاً جوهيرية بين أفراد المجموعتين. وخلصوا إلى أن المحافظة على المسافة أو حماية السنخ الذي يؤمنه الغشاء خلال مرحلة الشفاء يعتبر أهم من استخدام المواد المائية في المحافظة على أبعاد الحافة السنخية ووقايتها من الامتصاص (21).

قارنوا بين استخدام نوعين من الأغشية الممتصة الأولى مصنوعة من مادة Glycolide والثانية مصنوعة من مادة Lactide. ووجدوا أن استخدام كلا النوعين قد أدى إلى إنفاس الامتصاص في الحافة السنخية، بالإضافة إلى امتلاء السنخ بكمية أكبر من العظم الترابيقي trabecular bone بالمقارنة مع موقع المجموعة الشاهدة (22). في دراسة حديثة للباحث Neiva et al 2011 ، عُطيت أسنان المقلوبة بأغشية الكولاجين الممتصة وأجرروا تقييمها نسيجياً وشعاعياً باستخدام التصوير المقطعي الموسوب CT. فأظهرت نتائج الدراسة حدوث تشكل عظمي مبكر بعد 12 أسبوعاً من القلع دون حدوث تبدلات كبيرة في أبعاد الحافة السنخية (23).

المشكلة :Actual Problem

الامتصاص الفيزيولوجي الذي يحدث للحافة السنخية بعد قلع الأسنان والذي يؤدي إلى حافة سنخية غير مناسبة أو معيبة لتعويض وغرس الأسنان

:Aim of the study-2

تقييم فعالية تطبيق غشاء التفلون عالي الكثافة d-PTFE غير المتص楚 في المحافظة على ارتفاع الحافة السنخية بعد القلع

:Materials and Methods-3

عينة الدراسة :

تألفت عينة البحث من 35 مريضاً (24 إناث ، 11 ذكور)، وقد تراوحت أعمار مرضى العينة بين (20 – 50) عاماً.أجري لهم قلع أسنان مفردة الجذور من الفك السفلي. بلغ عدد الأسنان المقلوبة 40 سنّاً، طبق غشاء التفلون عالي الكثافة d-PTFE غير المتص楚 في أسنان (20) سنّاً (مجموعة d-PTFE) وتركت أسنان العشرين الباقية (المجموعة الشاهدة) لتشغى بشكلٍ عفويٍ.

اعتمدت انتقائية عشوائية بواسطة قطعة عملة معدنية على أفراد العينة لتطبيق غشاء التفلون عالي الكثافة d-PTFE غير المتص楚 ضمن أسنان أو تركها لتشغى بدون إضافات (عفويًا)

فحص المرضى سريرياً، لتقدير الحالة ، وشعاعياً بإجراء صورة بانوراما رقمية قبل القلع لكل مريض من مرضى العينة.

- معايير الإدخال

انتقيت العينة وفق معايير الإدخال insertion criteria التالية:

عمر المريض < 18 عاماً ، لديه استطباب قلع أسنان أحادية الجذر في الفك السفلي وقد حدد استطباب القلع بنهاية السن وعدم إمكانية ترميمه، عدم وجود أمراض جهازية عامة، عدم وجود آفات حالة للعظم أو التهاب عظم ونقى، عدم تعرض المريض لمعالجة شعاعية أو كيميائية حديثة في سياق معالجة الأورام الخبيثة.

معايير الاستبعاد :exclusion criteria

استبعدت الأسنان التي حدد سبب قلعها لأسبابٍ رعليّة، إصابة المريض بأمراض جهازية عامة مثل (السكري غير المضبوط، أمراض دموية)، وجود آفاتٍ عظمية أو أورامٍ موضعية، سوء العناية بالصحة الفموية، آفاتٍ موضعية (طلاوة ، مبيضات.....)، تناول أدوية تؤثر على الشفاء العظمي (الستيرويدات القشرية، bisphosphonates ...)، التدخين المفرط > 20 لفافة يومياً، وجود صريرٍ أو سوء إطباقٍ شديدٍ، عدم تعاون المريض وعدم تقدير العلاج المقدم إليه. [46]

- مراحل إنجاز البحث في عينة الدراسة

أولاً الفحص السريري :

بعد التأكد من مطابقة المريض لمعايير الإدخال الخاصة بالدراسة، استجوب بشكلٍ دقيقٍ للحصول على معلوماتٍ عن حالته الصحية العامة وتاريخ الحالة السنية، ودونت المعلومات على بطاقٍ خاصة بكل مريضٍ معأخذ الموافقة المعلمة بعد قراءته لورقة المعلومات واحتفاظه بها .

شمل الفحص السريري للمرضى:

العنابة الفموية وفحص داخل الفم والأسنان ومن ثم تحديد الأسنان التي سيتم قلعها.

ثانياً: الفحص الشعاعي التشخيصي :

بمساعدة الصورة البانورامية الرقمية ثُفي وجود أي مشاكل متعلقة بالعظم من آفاتٍ أو أكياسٍ أو غير ذلك من المشاكل وتحديد أماكن البنى التشريحية المجاورة المهمة.

المواد:

3. أدوات المرحلة الجراحية:

- أدوات الجراحة الصغرى
- مخدر (2% ليدوكائين مع 1/80000 ايسينفرين كوري الصنع)
- أدوات مرحلة المتابعة :

4. برنامج EZ-3D Plus لقراءة ومعالجة صور Cross-Section المأخوذة بتقنية CBCT من إنتاج شركة Vatick الكورية

العمل الجراحي:

- طلب من المريض إجراء غسول فم لمدة 3/ دقيقة بالكلورهكسيدين (0.12%)
- وضعت الشانت المعقمة على وجه ورأس المريض والقسم العلوي من جسمه وترك النصف السفلي من وجهه مكشوفاً حيث مُسح ما حول الفم بمحلول مطهر (اليوفيديون).
- أجري التخدير الناهي باستعمال مخدر موضعي (ليدوكائين 2% / كوري الصنع) مع مقبض وعائي (أدرينالين 1/80000) كوري الصنع حيث أجري التخدير باستخدام حقنة الفك السفلي حيث أجري التخدير باستخدام حقنة الفك السفلي (إلاصوار العصب السنخي السفلي) وتخدير العصب اللسانی مع حقنةٍ متتممة موضعية إذا دعت الحاجة.
- أُجري شق ضمن الميزاب اللثوي ومدد إلى الأسنان المجاورة بمقدار سن من الأنسي والوحشي.
- رُفعت شريحة كاملة الثمانة من الدهليزي بدون إجراء شقوق محررة مائلة مع إجراء تسلیخ مناسبٍ من الناحية اللسانية
- قُلع السن بشكلٍ غير راضٍ قدر الإمكان وجُرف السنخ بشكلٍ جيد
- غُسلت المنطقة بواسطة سيروم ملحي معقم
- طُبق غشاء التقلون عالي الكثافة d-PTFE فوق التجويف السنخي

Cytoplast™ Dense PTFE Membranes



الشكل رقم (1) غشاء التقلون عالي الكثافة d-PTFE غير الممتص المستخدم في البحث

- رُدّت الشريحة وخيطت بحيث يتم الحصول على إغلاق أولي قدر الامكان لفوهة السنخ بخيوط حرير قياس 3/0 أزيلت بعد أسبوع من العمل الجراحي.

تعليمات بعد العمل الجراحي :

أعطي المرضى التعليمات التالية بعد العمل الجراحي

المحافظة على ضماد الشاش المعقم مدة ساعة في مكانه لإرقاء النزف. وضع كمادات باردة على الخد مقابل مكان العمل الجراحي بالتناوب مع فترات راحة كل 10 دقائق لمدة 6 ساعات. عدم التدخين في يوم العمل الجراحي. حمية سائلة يوم العمل الجراحي وحميةً نصف سائلة خلال 3 أيام بعد العمل الجراحي لعدم رض مكان العمل الجراحي. غسول فموية بكلورهكسيدين (0.12%) (أو بالسيروم الملحي الفيزيولوجي) في اليوم التالي للعمل الجراحي مع العناية بالصحة الفموية.

تضمنت الوصفة الدوائية لكل المرضى:

Amoxycilline cap 500 mg •

كبسولتين قبل العمل الجراحي بساعة ثم كبسولة كل 8 ساعات لمدة أسبوع

Clindamycine cap 300 mg •

في حال التحسس من زمرة البيتاكتم كبسولتين عند العمل الجراحي ثم كبسولة كل 8 ساعات لمدة أسبوع

Paracetamol tab 500 mg •

حبة كل 6 ساعات

Chlorhexidine mw 0.12% •

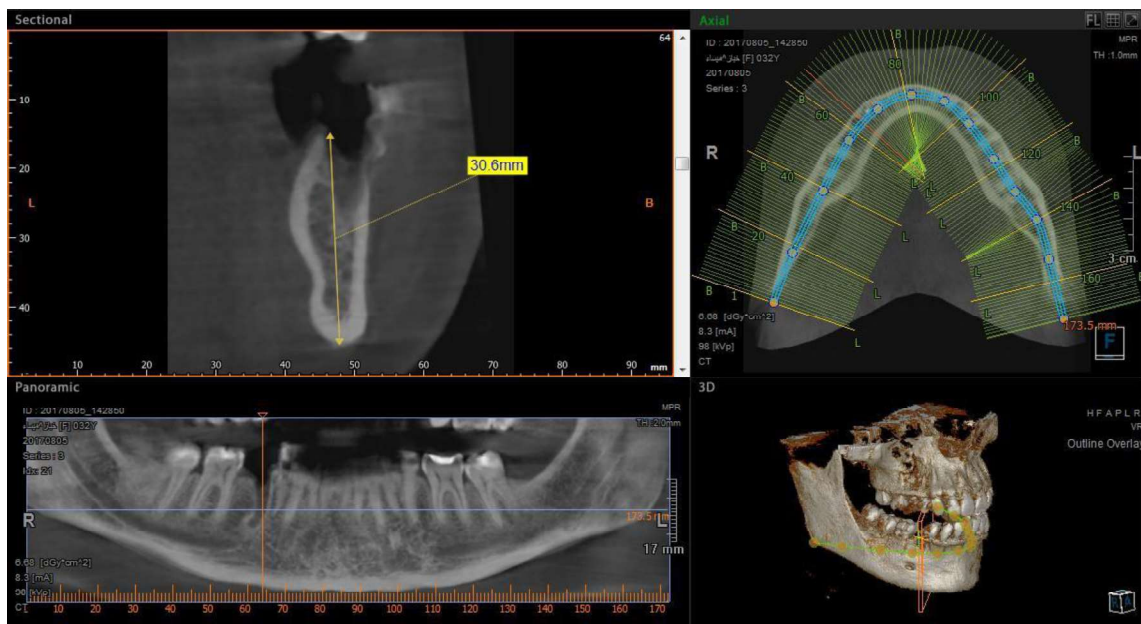
غسول فموي مرتبن يومياً لمدة أسبوعين.

أزيلت القطب بعد سبعة أيام من العمل الجراحي وأجري فحص سريٍّ للتأكد من عدم حدوث مضاعفات تالية للعمل الجراحي.

المتابعة الشعاعية

خضع جميع المرضى لبروتوكول متابعةٍ شعاعيةٍ حيث أجريت صورةٌ مقطعةٌ CBCT بعد العمل الجراحي مباشرةً وبعد ثلاثة أشهر وستة أشهر واستخدمت الصورة البنورامية من CBCT ومقاطع Cross Section لإجراء قياسات ارتفاع الحافة السنخية مكان السن المقلوب باستخدام برنامج Ez-3D Plus 2009 وسجلت البيانات في جداول خاصة تمهدًا للتحليل

الإحصائي



الشكل رقم (2) طريقة قياس ارتفاع الحافة السنخية على مقاطع Cross Sectional والبانوراما من CBCT

طريقة التحليل الإحصائي

في البداية درس نمط توزع بيانات الدراسة الحالية حيث أجري تحليل الطبيعي لأندرسون و دارلينج Anderson-Darling Test وذلك لجميع المتغيرات التي تضمنتها الدراسة [11] ، وذلك باستخدام برنامج MiniTab® النسخة 13.

عند مقارنة المتغيرات ضمن العينة العلاجية (بين الزمن الأول T1 والزمن الثاني T2 أو بين الزمن الثاني T2 والزمن الثالث T3) استخدمت الاختبارات التالية :

- اختبار t للعينات المزاجة Paired-Samples T Test في حال كان توزع البيانات طبيعياً
- اختبار ويلكوكسون للأزواج الموافقة Wilcoxon matched-pairs test في حال كان توزع البيانات غير طبيعي.

و عند مقارنة المتغيرات بين العينتين استخدمت الاختبارات التالية :

- اختبار t شائي العينة 2-Samples T Test في حال كان توزع البيانات طبيعياً في كلا العينتين.
- اختبار مان ويتي Mann-Whitney U Test في حال توزعت البيانات بشكل غير طبيعي في إحدى العينتين.

3- النتائج results

الدراسة الإحصائية التحليلية:

قيس ارتفاع السنخ (بالملم) في ثلاثة فترات زمنية مختلفة (بعد القلع مباشرةً ، بعد ثلاثة أشهر من القلع، بعد ستة أشهر من القلع لكل حالة من الحالات المدروسة في عينة البحث، بعد ذلك تم التأكيد من التوزع الطبيعي لقيم المتغيرات المقاسة والمحسوبة في عينة البحث كما درس تأثير كل من المجموعة المدروسة و الفترة الزمنية المدروسة على نسبة التغير في ارتفاع السنخ في عينة البحث .

حيث أجري اختبار أندرسون - دارلينج Anderson-Darling Normality Test لدراسة دلالة الفروق في توزع قيم كل من المتغيرات المقاسة والمحسوبة عن التوزع الطبيعي (توزيع غاوس) في عينة البحث وذلك وفقاً للمجموعة المدروسة، وقد

كانت جميع قيم مستوى الدلالة المحسوبة أكبر من القيمة (0.05) في كل من المجموعتين المدروستين (المجموعة الشاهدة ، مجموعة d-PTFE).

الجدول رقم (1) يبين المتوسط الحسابي والانحراف المعياري لمتغيرات العينة وقيمة مستوى الدلالة للتوزيع الطبيعي.

المتغير المدروس	المجموعة المدروسة	الفترة الزمنية المدروسة	عدد الحالات	المتوسط الحسابي	الانحراف المعياري	A-squared	قيمة مستوى الدلالة
<p style="text-align: right;">برهان الدين</p>	<p style="text-align: right;">M-PTFE</p>	الامتصاص بعد 3 أشهر	20	1.31	0.24	0.22	0.800
		الامتصاص بعد 6 أشهر	20	1.98	0.35	0.51	0.170
		الفرق في الامتصاص بين الفترتين	20	0.67	0.21	0.23	0.701
	<p style="text-align: right;">المجموعة الشاهدة</p>	الامتصاص بعد 3 أشهر	20	2.89	0.49	0.73	0.146
		الامتصاص بعد 6 أشهر	20	3.93	0.51	0.41	0.383
		الفرق في الامتصاص بين الفترتين	20	1.04	0.24	0.70	0.054

وبالتالي استنتج أن قيم تلك المتغيرات المدروسة في عينة البحث كانت ذات توزع طبيعي وبالتالي أمكن استخدام الاختبارات المعلمية عليها (مثل اختبار T ستيفونز للعينات المستقلة واختبار T ستيفونز للعينات المترابطة) للمقارنة بين المجموعتين وبين الفترات الزمنية المدروسة وذلك لتحقيق أهداف البحث الحالي.

دراسة أثر الطريقة المتبعة على نسبة تغير ارتفاع السنخ في عينة البحث بين الفترات الزمنية المدروسة:

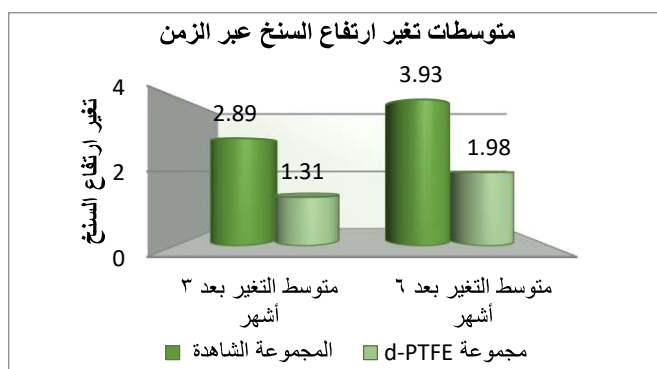
ـ إحصاءات وصفية :

جدول رقم (2) يبين المتوسط الحسابي والانحراف المعياري والحد الأعلى والحد الأدنى للنسبة المئوية لتغير ارتفاع السنخ (بالملم) في عينة البحث خلال الفترة الزمنية المدروسة وفقاً للمجموعة المدروسة.

المتغير المدروس	الفترات المدروسة	المجموعة المدروسة	عدد الحالات	المتوسط الحسابي	الانحراف المعياري	الحد الأعلى	الحد الأدنى
<p style="text-align: right;">برهان الدين</p>	<p style="text-align: right;">القلع</p>	M-PTFE	20	1.29	0.23	1.9	1
		المجموعة الشاهدة	20	1.78	0.32	3.8	1.9
<p style="text-align: right;">برهان الدين</p>	<p style="text-align: right;">القلع</p>	M-PTFE	20	1.98	0.35	2.7	1.4
		المجموعة الشاهدة	20	3.93	0.51	4.6	2.9

يلاحظ من الجدول السابق أنه بلغ:

- متوسط تغير ارتفاع السنخ بعد 3 أشهر من القلع في مجموعة d-PTFE (0.23 ± 1.31)
- متوسط تغير ارتفاع السنخ بعد 3 أشهر من القلع في المجموعة الشاهدة (0.49 ± 2.89)
- متوسط تغير ارتفاع السنخ بعد 6 أشهر من القلع في مجموعة d-PTFE (0.35 ± 1.98)
- متوسط تغير ارتفاع السنخ بعد 6 أشهر من القلع في المجموعة الشاهدة (0.51 ± 3.93)



مخطط رقم (1) يمثل المتوسط الحسابي لتغير ارتفاع السنخ بعد القلع في كل من مجموعة d-PTFE والمجموعة الشاهدة من عينة البحث وفقاً للفترة الزمنية المدروسة.

- نتائج اختبار T ستويوندت للعينات المستقلة:

جدول رقم (3) يبين نتائج اختبار T ستويوندت للعينات المستقلة لدراسة دلالة الفروق بين متوسطات تغير ارتفاع السنخ بعد 6 أشهر من القلع في عينة البحث، وذلك وفقاً للمجموعة المدروسة

الدلالـة الإحصـائية	قيمة مـستوى الدـلـلة	درجـات الحرـية	قيـمة المـحسـوبـة	المـقارـنة بـین	الفـترـات المـدـرـوـسـة	المـتـغـير المـدـرـوـس
DAL	0.035	19	-0.22	d-PTFE-مجموعة	بعد 3 أشهر	تغير ارتفاع السنخ
				المجموعة الشاهدة	من القلع	المجموعـة الشـاهـدة

يبين الجدول أعلاه أن قيمة مستوى الدلالة أصغر من القيمة 0.05 بالنسبة للمقارنات بعد 3 أشهر من القلع أي أنه عند مستوى الثقة 95% توجد فروق ذات دلالة إحصائية بين متوسطات تغير ارتفاع السنخ (بالملم) بين المجموعتين المدروستين بعد 3 أشهر من القلع، حيث كانت قيمة نسبة تغير ارتفاع السنخ (بالملم) أقل بشكلٍ DAL إحصائياً في مجموعة d-PTFE منها في المجموعة الشاهدة.

- نتائج اختبار T ستودنت للعينات المستقلة:

جدول رقم (4) يبين نتائج اختبار T ستودنت للعينات المستقلة لدراسة دلالة الفروق بين متواسطات تغير ارتفاع السنخ بعد 6 أشهر من القلع في عينة البحث، وذلك وفقاً لمجموعة المدروسة.

الدلالة الإحصائية	قيمة مستوى الدلالة	درجات الحرية	قيمة المحسوبة	المقارنة بين المجموعات	الفترات المدروسة	المتغير المدروس
				d-PTFE	بعد 6 أشهر من القلع	تغير ارتفاع السنخ
دال	0.046	19	-0.23	المجموعة الشاهدة		

يبين الجدول أعلاه أن قيمة مستوى الدلالة أصغر من القيمة 0.05 بالنسبة للمقارنات بعد 3 أشهر من القلع أي أنه عند مستوى الثقة 95% توجد فروق ذات دلالة إحصائية بين متواسطات تغير ارتفاع السنخ (بالملم) بين المجموعتين المدروستين بعد 3 أشهر من القلع، حيث كانت قيم نسبة تغير ارتفاع السنخ (بالملم) أقل بشكلٍ دالٍ إحصائياً في مجموعة d-PTFE منها في المجموعة الشاهدة.

4- المناقشة :Discussion

إن الدراسة المنجزة هي دراسة سريرية تطعيمية مضبوطة نصف عمياء على عينتين لدراسة التغير في ارتفاع الحافة السنخية الذي يحدث بعد القلع بين مجموعتين

طبق غشاء التقولون عالي الكثافة d-PTFE غير المتصب في سنخ 20 سنةً وحيدة الجذر في الفك السفلي ، مقابل 20 سنةً تركت أسنانها لتشفي عفويًا .
فترة المراقبة :

امتدت فترة المراقبة في هذه الدراسة لمدة 6 أشهر أجري خلالها متابعة شعاعية لمرضى العينة بواسطة التصوير المقطعي المحosoبي مخروطي الحزمة CBCT بدراسة مقاطع Cross Sectional لمكان القلع وجواره حيث أجريت صورة بعد القلع مباشرة وبعد 3 أشهر من القلع وأخيراً بعد 6 أشهر من القلع .
أجريت القياسات على ارتفاع الحافة السنخية باستخدام برنامج (Ez3D Plus 3D CDViewer Ver. 1.2.6.20) من خلال الصورة البانورامية من CBCT ومقاطع Cross Section بالنسبة لعينة البحث :

اشترط في البحث أن يكون السن وحيد الجذر في الفك السفلي بلغ عدد أفراد العينة 40 سنًا لدى 35 مريضاً (24 إثاث، 11 ذكور).
تراوحت أعمار العينة بين (20-50) سنة.

في كل الدراسات السابقة أجريت عمليات المحافظة على السنخ عند الرجال والنساء بلا تفريغ ، وفي معظم الدراسات كان معدل أعمار المرضى بين 18-76 عاماً.

أجريت شريحة كاملة الخانة في كلتا المجموعتين وذلك لضمان تغطية جيدة مع إغلاق كامل للشريحة كما يساعد إجراء تشطيف السمحاق عند الحاجة لتأمين تغطية محكمة غير متورّة للشريحة .

مناقشة التغير في ارتفاع السنخ عند مجموعة d-PTFE خلال فترة المتابعة :

◀ بينت النتائج حصول امتصاص في ارتفاع الحافة السنخية في مجموعة d-PTFE بعد 3 أشهر من القلع بمقدار $(0,23 \pm 1,31)$.

◀ كما بينت النتائج حصول امتصاص في ارتفاع الحافة السنخية بعد 6 أشهر من القلع بمقدار $(0,35 \pm 1,98)$. مناشفة التغير في ارتفاع السنخ عند المجموعة الشاهدة خلال فترة المتابعة :

◀ بينت النتائج حصول امتصاص في ارتفاع الحافة السنخية في مجموعة d-PTFE بعد 3 أشهر من القلع بمقدار $(0,49 \pm 2,89)$.

◀ كما بينت النتائج حصول امتصاص في ارتفاع الحافة السنخية بعد 6 أشهر من القلع بمقدار $(0,51 \pm 3,93)$. قدمت الأدبيات أدلةً لدعم حقيقة أن إجراءات المحافظة على الحافة السنخية تحد من تغيرات الأبعاد العظمية مقارنةً بالقلع دون تطبيق إجراءات المحافظة على السنخ (21) هذا وتوضح المراجعة المنهجية التي قام بها Ten Heggeler 2011 وزملاؤه ، أنه على الرغم من استخدام تقنيات المحافظة على الحافة السنخية فإنه لا يمكن التأكيد بحدوث وقاية كاملة من حدوث امتصاص في الحافة السنخية (22).

تفق نتائج هذه الدراسة مع هذه النتائج حيث كان هناك فقد في ارتفاع الحافة السنخية في كلا المجموعتين التجريبية والشاهدية على الرغم من تطبيق تقنية المحافظة على الحافة السنخية. وبالتالي، لا تؤدي إجراءات المحافظة على الحافة السنخية إلى ثبات الأبعاد الكامل ولكنها مصممةً لتقليلها.

وقد أظهرت الواقع التي طبق فيها غشاء التفاف عالي الكثافة d-PTFE غير المتصدص الحد الأدنى للامتصاص العمودي طوال فترة المتابعة التالية للقلع.

5- الاستنتاجات :Conclusions

- إن طريقة تعطية السنخ بغشاء التفاف عالي الكثافة d-PTFE غير المتصدص طريقةً ناجحةً نسبياً في تقليل الامتصاص الفيزيولوجي لارتفاع الحافة السنخية بعد القلع.
- أعطت طريقة تعطية السنخ بغشاء التفاف عالي الكثافة d-PTFE غير المتصدص نتائج أفضل إحصائياً من ترك السنخ ليشفي بشكلٍ عفوي في المحافظة على ارتفاع السنخ بعد 3 أشهر وبعد 6 أشهر من القلع وهذا يدل على امتلاء السنخ بكمية أكبر من العظم بالمقارنة مع موقع المجموعة الشاهدة الأمر الذي أبطأ من نهج الامتصاص العمودي الذي يحدث بشكلٍ طبيعي بعد قلع الأسنان على الحافة السنخية.
- وبالتالي قد يترك هذا انطباعاً وليس أمراً محتملاً بأن تطبيق غشاء التفاف عالي الكثافة d-PTFE غير المتصدص قد يزيد من فرص نجاح الغرسات السنوية.

6- التوصيات :Recommendations

- يقترح إجراء بحث مشابه لتقدير تغير عرض الحافة السنخية باستخدام التصوير الطيفي المحوسب .
- يقترح إجراء بحث طويل الأمد لمتابعة نجاح الغرس بعد التحميل .
- يقترح إجراء بحث نسيجي لتقدير نوعية وكمية العظم الناتج بعد تطبيق غشاء التفاف عالي الكثافة d-PTFE غير المتصدص .
- يوصى بتطبيق غشاء التفاف عالي الكثافة d-PTFE غير المتصدص فوق السنخ بعد القلع في سياق المحافظة على ارتفاع الحافة السنخية بعد القلع
- يقترح إجراء دراسة مقارنة بين تطبيق غشاء التفاف عالي الكثافة d-PTFE غير المتصدص بالمشاركة مع مادة مالئة في سياق المحافظة على الحافة السنخية من الامتصاص الفيزيولوجي بعد القلع.

References -7

- 1- Araujo, M.G.; Sukekava, F.; Wennstrom, J.L.; Lindhe, J (2005). Ridge alterations following implant placement in fresh extraction sockets: An experimental study in the dog. J. Clin. Periodontol.32, 645–652.
- 2- Staffileno, H.; Levy, S.; Gargiulo .A (1966). Histologic study of cellular mobilization and repair following a periosteal retention operation via split thickness mucogingival flap surgery. J. Periodontol.37, 117–131.
- 3- Wood, D.L.; Hoag, P.M.; Donnenfeld, O.W.; Rosenfeld, L.D (1972). Alveolar crest reduction following full and partial thickness flaps. J. Periodontol. 43, 141–144.
- 4- Bartee, B.K (2001). Extraction site reconstruction for alveolar ridge preservation. Part 1: Rationale and materials selection. J. Oral Implantol., 27, 187–193.
- 5- Ashman .A (1995). Ridge preservation—The future practice of dentistry. Dent. Econ. 85, 82–83.
- 6- Leblebicioglu, B.; Salas, M.; Ort, Y.; Johnson, A.; Yildiz, V.O.; Kim, D.G.; Agarwal, S.; Tatakis, D.N. (2013) Determinants of alveolar ridge preservation differ by anatomic location. J. Clin. Periodontol. 40, 387–395.
- 7- Van der Weijden, F.; Dell'Acqua, F.; Slot, D.E (2009). Alveolar bone dimensional changes of post-extraction sockets in humans: A systematic review. J. Clin. Periodontol. 36, 1048–1058.
- 8- Tan, W.L.; Wong, T.L.; Wong, M.C.; Lang, N.P (2012). A systematic review of post-extractional alveolar hard and soft tissue dimensional changes in humans. Clin. Oral Implants Res. 23, 1–21.
- 9- Wang, R.E.; Lang, N.P (2012). Ridge preservation after tooth extraction. Clin. Oral Implants Res. 23, 147–156.
- 10- Pagni, G.; Pellegrini, G.; Giannobile, W.V.; Rasperini, G (2012). Postextraction alveolar ridge preservation: Biological basis and treatments. Int. J. Dent. doi:10.1155/2012/151030.
- 11- Fickl S1, Zuhru O, Wachtel H, Bolz W, Huerzeler MB (2008). Hard tissue alterations after socket preservation: an experimental study in the beagle dog. Clin Oral Implants Res. 2008 Nov;19(11):1111–8.
- 12- Araújo MG1, Lindhe J (2005). Dimensional ridge alterations following tooth extraction. An experimental study in the dog. J Clin Periodontol. 2005 Feb;32(2):212–8.

- 13- Tan WL, Wong TL, Wong MC, Lang NP(2012). A systematic review of post-extractional alveolar hard and soft tissue dimensional changes in humans. Clin Oral Implants Res. 2012 Feb;23 Suppl 5:1–21.
- 14- Hämmmerle CHF, Karring T (2000). Guided bone regeneration at oral implant sites. Periodontology. 17(1):151–175.
- 15- Anitua, Eduardo & Tejero, Ricardo & Zalduendo Macua, Mar & Orive, Gorka. (2012). Plasma Rich in Growth Factors (D-PTFE-Endoret) Promotes Bone Tissue Regeneration by Stimulating Proliferation, Migration and Autocrine Secretion on Primary Human Osteoblasts. Journal of periodontology. 84. 10.1902.
- 16- Anitua E.A., Andia I.O., Nurden P (2001). A New Approach to Bone Regeneration Plasma Rich In Growth Factors, Puesta Al Dia Publicaciones, pp. 81–145;
- 17- 16 Anitua, E.,A., Sanchez, M., Nurden, A.,T (2006).., New insights into and novel applications for platelet-rich fibrin therapies. Trends in Biotechnology, , 24, 5, pp. 227–234;
- 18- Melcher AH (1969). Role of the periosteum in repair of wounds of the parietal bone of the rat. Archives of Oral Biology. 14:1101–9
- 19- Wiksjö UM, Nilvénus R (1990). Periodontal repair in dogs: effect of wound stabilization on healing. Journal of Periodontology. 61(12):719–724.
- 20- Lekovic, V., Kenney, E.B., Weinlaender, M., Han, T., Klokkevold, P., Nedic, M. & Orsini, M. (1997) A bone regenerative approach to alveolar ridge maintenance following tooth extraction. Report of 10 cases. Journal of Periodontology 68: 563–570.
- 21- Pinho MN, Roriz VM, Novaes AB, et al (2006). Titanium membranes in prevention of alveolar collapse after tooth extraction. Implant Dentistry. 15(1):53–61.
- 22- Lekovic V, Kenney EB, Weinlaender M, et al (1997) . A bone regenerative approach to alveolar ridge maintenance following tooth extraction. Report of 10 cases. Journal of Periodontology. 68(6):563–570.
- 23- Neiva R, Pagni G, Duarte F, et al (2011). Analysis of tissue neogenesis in extraction sockets treated with guided bone regeneration: clinical, histologic, and micro-CT results. The International Journal of Periodontics & Restorative Dentistry. 31(5):457–469.